

Интересно отметить, что, несмотря на то что K_s — константы, эффективные значения K^* во всех моделях проявляют некоторую зависимость от деформированного состояния композиционного материала.

ЛИТЕРАТУРА

1. Сараев Л. А. К теории идеальной пластичности многокомпонентных смесей // ПМТФ.— 1984.— № 6.
2. Сараев Л. А. Эффективные свойства многокомпонентных упругопластических композиционных материалов // ПММ.— 1986.— Т. 50, вып. 4.
3. Толоконников Л. А., Архипов И. К. Корреляционная теория малых упругопластических деформаций композиционных материалов // Прикладные проблемы прочности и пластичности.— Горький, 1979.— Вып. 11.
4. Архипов И. К., Толоконников Л. А. Эффективные соотношения между напряжениями и деформациями в корреляционной теории упругопластических деформаций // Изв. АН СССР. МТТ.— 1984.— № 2.
5. Шермергор Т. Д. Теория упругости микронеоднородных сред.— М.: Наука, 1977.
6. Кристенсен Р. Введение в механику композитов.— М.: Мир, 1982.
7. Хорошун Л. П. К теории насыщенных пористых сред // ПМ.— 1976.— Т. 12, № 4.
8. Крок Р. Неорганические порошковые композиции // Современные композиционные материалы.— М.: Мир, 1970.
9. Мартынова И. Ф., Скороход В. В. Уплотнение пористого металла при объемном пластическом деформировании в отсутствие деформационного упрочнения // Порошковая металлургия.— 1976.— № 5.
10. Радомысльский И. Д., Титаренко С. В., Щербань И. И. Влияние второго компонента на прессуемость металлических смесей // Теория и практика прессования порошков.— Киев: Ин-т проблем материаловедения АН УССР, 1975.
11. Писаренко Г. С., Троценко В. Т., Красовский А. Я. Исследование механических свойств пористого железа при растяжении и кручении // Порошковая металлургия.— 1965.— № 7.
12. Свойства элементов: Справочник. Ч. 1. Физические свойства/Под ред. Г. В. Самсонова.— М.: Металлургия, 1976.

Поступила 27/IV 1987 г.

УДК 539.375 : 621.01

МЕХАНИКА РАЗРУШЕНИЯ ПОКРЫТИЙ И ПЛЕНОК

А. Г. Черепанов, Г. П. Черепанов

(Москва)

Введение. Тонкий поверхностный слой всех материалов обладает специфическими свойствами, объясняющимися как химическим либо тепловым, так и непосредственным физико-механическим взаимодействием материала с окружающей средой. Как правило, именно в поверхностном слое материалов и конструкций зарождается начальная усталостная трещина, развитие которой приводит к исчерпанию ресурса конструкции или ее элемента. Естественно поэтому, что состояние поверхностного слоя (и управление его свойствами) — одна из основных проблем, которой занимаются технологи и инженеры [1, 2]. Материалоемкость промышленности существенно зависит от решения этой проблемы.

Комбинация поверхностный слой — объем материала может рассматриваться как композит, одним из компонентов которого является поверхностный слой [3]. Важнейшие характеристики этого слоя — особые защитные свойства, зависящие от его химсостава и микроструктуры, адгезионная прочность и трещиностойкость самого слоя и его контакта с подложкой. На свойства поверхностного слоя влияют водород и коррозия в газовой среде и водных растворах, износ, катализ, сварка и пайка, эрозия, пассивация, адгезия, спекание и абляция, влияние ингибиторов.

Для управления механическими, химическими, магнитными, электрическими и другими свойствами поверхностного слоя применяются разнообразные методы, которые можно классифицировать следующим образом.

Механические методы (дробеструйный наклеп, проковка, ударное упрочнение) приводят к возникновению высоких сжимающих остаточных напряжений в поверхностном слое и торможению в нем зародышей трещин.

Лакокрасочные покрытия и окисные пленки служат для химической защиты материала от окружающей среды.

Методы осаждения позволяют получать новые поверхностные слои с составом и микроструктурой, отличными от состава и микроструктуры материала подложки (плазменное напыление, ионное нанесение, химическое и физическое осаждение из паров, электролитическое осаждение).

Методы физико-химической модификации материала позволяют изменять механические и физико-химические свойства поверхностного слоя (специальная термообработка поверхности, ионные азотирование и цементация, ионная имплантация, обработка лазерными и электронными лучами). В естественных условиях металл обычно защищает окисная пленка.

Протравливание стекла приводит к растворению поверхностного слоя в нем, насыщенного трещинами, и существенному увеличению прочности стекла (правда, лишь на некоторое время, пока на его поверхности зарождаются новые трещины).

Наиболее перспективными и многообещающими являются ионная имплантация и лазерная обработка.

Ионная имплантация — это процесс, в котором практически любой элемент может быть внедрен в поверхностный слой любого твердого тела, помещенного в вакуумную камеру, посредством пучка высокоскоростных ионов этого элемента с энергией частиц 0,1—10 МэВ. Ионы внедряются в материал на глубину порядка 0,01—1 мкм. Такой метод поверхностного легирования металлов открывает практически неисчерпаемые возможности формирования необычных метастабильных структур и соединений в поверхностном слое, запрещенных классической термодинамикой равновесных и слабонерасовесных процессов.

Лазерная обработка — это процесс быстрого сканирования поверхности непрерывным или пульсирующим лазерным лучом. Лазерный луч вызывает локальное оплавление тонкого поверхностного слоя, который чрезвычайно быстро охлаждается из-за плотного контакта с массой холодного материала на границе раздела. При этом толщина слоя может изменяться в пределах 10^{-1} — 10^3 мкм, а скорость его охлаждения достигать 10^8 — 10^{10} К/с. При таких скоростях охлаждения в поверхностных слоях формируются метастабильные ультрамикроструктурные и аморфные структуры, характеризующиеся большой прочностью, а также исключительно высокой усталостной и коррозионной стойкостью вследствие отсутствия зародышей трещин и дислокаций в аморфных металлах.

Широко применяются также комбинированные методы, приводящие к сложной многослойной структуре поверхностного слоя (например, нагартовка поверхности дробеструйной обработкой, затем последовательно анодирование, эпоксидная грунтовка и лакокрасочное покрытие — в данном случае поверхностный слой четырехслойный).

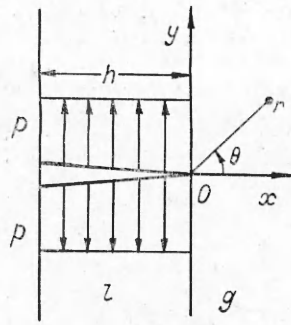
Приведем решение нескольких задач, иллюстрирующих основные проблемы механики разрушения покрытий. Понятие покрытие считается эквивалентным понятию поверхностный слой или пленка.

Оптимизация покрытий. Под действием переменных нагрузок в поверхностном слое со временем развивается поперечная краевая усталостная трещина, которая может перейти в основной металл и привести к преждевременному разрушению элемента конструкции. Выведем необходимое условие равнопрочности, позволяющее исключить такую возможность путем оптимального подбора вязкостей разрушения слоя, основного металла и границы контакта.

Пусть усталостная трещина нормального разрыва пересекла весь слой толщины h и подошла к границе контакта слоя l с основным металлом g (рис. 1) (предполагаются условия плоской деформации или плоского напряженного состояния). В этот момент в окрестности конца трещины (точка O на рис. 1) материал, вообще говоря, неоднороден по упругим и прочностным свойствам. Заметим, что на практике весьма часто можно пренебречь неоднородностью упругих свойств (но не прочностных!), считая, что модули Юнга и коэффициенты Пуассона для покрытия и основного металла различаются несущественно. Это допущение пригодно для большинства напыленных покрытий, нагартованных и модифицированных слоев. Поэтому в дальнейшем случай однородности будет особо выделен.

Вначале необходимо произвести расчет упругих напряжений в теле с покрытием, но без трещины, а затем рассмотреть задачу с трещиной (рис. 1), в которой к берегам трещины приложены напряжения, равные по величине, но противоположные по знаку соответствующим напряжениям первой задачи. Локальное поле напряжений вблизи конца трещины определяется из решения второй задачи.

В большинстве практически значимых случаев можно считать, что нормальная нагрузка, приложенная к берегам трещины во второй задаче, постоянна и равна $\sigma_y = -p = -E_l \varepsilon_y (1 - \nu_l^2)^{-1}$, а касательная нагрузка равна нулю для свободной границы (рис. 1). Здесь E_l — модуль Юнга покрытия, ε_y — деформация в точке расположения трещины, полученная



Р и с. 1

из решения первой задачи в простейшем случае $h \rightarrow 0$, $E_l = E_g$ (E_g — модуль Юнга подложки). Этот результат можно строго доказать практически для всех случаев тонких покрытий, когда $h/R \ll 1$ и $E_l \sim E_g$ (или $E_l \ll E_g$) (R — радиус кривизны поверхности в рассматриваемой точке). При $E_l \gg E_g$ в связи с наличием двух малых параметров E_g/E_l и h/R при некоторых условиях может потребоваться учет изгиба оболочки (т. е. линейного по координате слагаемого в нагрузке на трещине). Однако такие жесткие защитные покрытия практически не применяются вследствие концентрации в них больших напряжений. Для металлов же таких жестких покрытий не существует в природе (модуль Юнга самого жесткого материала — алмаза — всего в 6 раз больше, чем у железа).

Введем полярные координаты $r\theta$ с центром в конце трещины (рис. 1). Рассмотрим малую окрестность конца трещины ($r \ll h$). В зависимости от различного соотношения прочностной неоднородности усталостная трещина из точки O может пойти следующими тремя возможными путями (рис. 2): a — по старому направлению $\theta = 0$, но уже в подложке; b — по границе контакта подложки с покрытием $\theta = \pm\pi/2$; c — в материале слоя вблизи границы контакта $\theta \approx \pm\pi/2$. Длительность надежной работы конструкции в первом случае, очевидно, при прочих равных условиях меньше, чем во втором и третьем, когда граница контакта тормозит трещину. При оценке ресурса конструкции на стадии ее проектирования совершенно необходимо учитывать эту возможность путем целенаправленного изменения свойств покрытия и контакта в заданном направлении. Существенно подчеркнуть, что слишком прочные покрытия приводят, как правило, к снижению долговечности.

В целом оптимально такое покрытие, которое позволяет максимизировать долговечность. Последняя равна сумме четырех слагаемых: времени зарождения усталостной трещины, времени ее развития через всю толщину покрытия, периоду задержки на границе контакта и времени докритического роста в подложке. Каждый из этих этапов требует самостоятельного исследования, так как при определенных условиях может стать решающим при выборе оптимального покрытия. Здесь остановимся на третьем этапе.

Напряжение σ_θ вблизи конца трещины имеет вид [5]

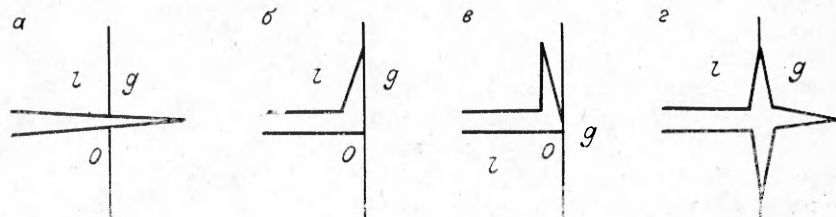
$$(1) \quad \sigma_\theta = K_I(\lambda^2 + 1)(2\pi)^{-1/2} r^\lambda [(2 + \lambda) \cos \lambda\theta + B \cos(\lambda + 2)\theta] \\ (0 \leq \theta \leq \pi/2),$$

$$B = \frac{k_1(3\lambda + 2) - k_2(1 + 2\lambda) + \lambda + 1}{1 + k_1}$$

$$k_1 = \frac{k - 1}{4(1 - \nu_l)}, \quad k_2 = \frac{1 - \nu_g}{1 - \nu_l} k, \quad k = \frac{\mu_l}{\mu_g},$$

$$K_I = \eta(k, \nu_l, \nu_g) p (\pi h)^{-\lambda},$$

где ν и μ — коэффициент Пуассона и модуль сдвига (индексы l и g отно-

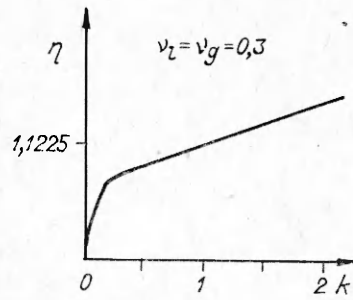


Р и с. 2

сятся к покрытию и подложке); K_I — коэффициент интенсивности напряжений в данной задаче (см. рис. 1); $\eta(k, \nu_l, \nu_g)$ — функция, определяемая численными методами теории упругости (ее график при $\nu_l = \nu_g = 0,3$ изображен на рис. 3 согласно [4]); λ — единственный действительный корень уравнения

$$\cos \pi \lambda = a + b(\lambda + 1)^2$$

$$\left(a = \frac{2k_1^2 - 2k_1 k_2 + 2k_1 - k_2 + 1}{2(k_2 - k_1)(k_1 + 1)}, \quad b = \frac{2k_1}{k_1 + 1} \right),$$



Р и с. 3

лежащий в интервале $(-1, 0)$. Зависимость этого корня от k при $\nu_l = \nu_g = 0,3$, взятая из [5], приводится на рис. 4. В наиболее важном частном случае однородного изотропного тела, когда $\nu_l = \nu_g$, $\mu_l = \mu_g$, имеем

$$(2) \quad \sigma_\theta = \frac{1}{4} K_I (2\pi r)^{-1/2} \left(3 \cos \frac{1}{2} \theta + \cos \frac{3}{2} \theta \right),$$

$$K_I = 1,1225 p (\pi h)^{1/2}.$$

Обозначим через $K_\theta(\theta)$ функцию $K_\theta = \sigma_\theta (2\pi)^{1/2} r^{-\lambda}$, определяемую формулой (1). Как видно, это монотонно убывающая функция θ (рис. 5). График зависимости от θ вязкости разрушения K_{Ic} качественно изображен в предположении, что граница контакта наиболее слаба по прочности.

Рассмотрим вначале монотонное нагружение, когда нагрузка p монотонно возрастает со временем. Тогда, согласно теории обобщенного нормального разрыва [4], подтверждаемой экспериментом, трещина развивается по тому направлению $\theta = \theta_*$, в котором $K_\theta(\theta_*) = K_{Ic}(\theta_*)$, а по всем другим направлениям $\theta \neq \theta_*$ $K_\theta(\theta) < K_{Ic}(\theta)$. Если вязкость разрушения покрытия и контакта меньше, чем у подложки, то кривая $K_\theta(\theta)$ впервые пересечет кривую $K_c(\theta)$ при $\theta = 0$ или при $\theta = \pi/2$ (рис. 5), т. е. реализуется один из указанных выше трех случаев.

Покрытие назовем равнопрочным по предельной нагрузке, если его свойства таковы, что кривая $K_\theta(\theta)$ первоначально касается кривой $K_{Ic}(\theta)$ одновременно в точках $\theta = 0$ и $\theta = \pi/2$ (при этом трещина пойдет одновременно по обоим направлениям, образуется тормозящий «стриж» (см. рис. 2, з)). Согласно (1), имеем

$$(3) \quad \text{при } \theta = 0 \quad K_\theta = K_I (\lambda + 1) (\lambda + 2 + B),$$

$$\text{при } \theta = \frac{\pi}{2} \quad K_\theta = K_I (\lambda + 1) \left[(2 + \lambda) \cos \frac{\pi \lambda}{2} + B \cos \frac{\pi}{2} (\lambda + 2) \right].$$

Для однородного тела, согласно (2),

$$(4) \quad \text{при } \theta = 0 \quad K_\theta = K_I, \quad \text{при } \theta = \pi/2 \quad K_\theta = K_I / (2\sqrt{2}).$$

Из (3) выводим следующее условие равнопрочности:

при $K_{Icgl} < K_{Icl}$

$$K_I (\lambda + 1) (\lambda + 2 + B) = K_{Icg},$$

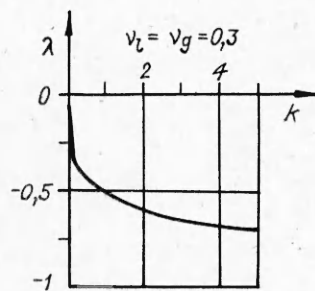
$$K_I (\lambda + 1) \left[(2 + \lambda) \cos \frac{\pi \lambda}{2} + B \cos \frac{\pi (\lambda + 2)}{2} \right] = K_{Icgl},$$

т. е.

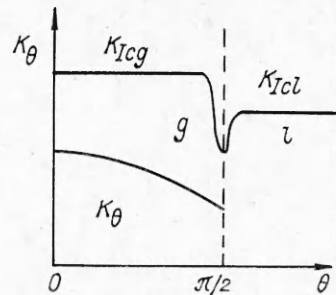
$$(5) \quad (\lambda + 2 + B) K_{Icgl} = K_{Icg} \left[(2 + \lambda) \cos \frac{\pi \lambda}{2} + B \cos \frac{\pi (\lambda + 2)}{2} \right];$$

при $K_{Icgl} > K_{Icl}$

$$(6) \quad (\lambda + 2 + B) K_{Icl} = K_{Icg} \left[(2 + \lambda) \cos \frac{\pi \lambda}{2} + B \cos \frac{\pi (\lambda + 2)}{2} \right].$$



Р и с. 4



Р и с. 5

Здесь K_{Icgl} — постоянная трещиностойкости контакта покрытия с подложкой, имеющая размерность силы, деленной на длину в степени $2 + \lambda$; K_{Icg} и K_{Icl} — вязкость разрушения материала подложки и слоя.

Для однородного по упругим свойствам (но неоднородного по прочности) материала, согласно (4), имеем условие равнопрочности

$$(7) \quad 2\sqrt{2} \min(K_{Icgl}, K_{Icl}) = K_{Icg} (\lambda = -1/2, \nu_l = \nu_g, E_l = E_g).$$

Следовательно, для равнопрочного покрытия при монотонном нагружении вязкость разрушения подложки должна быть в $2\sqrt{2}$ раз больше вязкости разрушения контакта (если $K_{Icgl} < K_{Icl}$) или вязкости разрушения покрытия (если $K_{Icgl} > K_{Icl}$). Значениями K_{Icgl} и K_{Icl} можно управлять, применяя различные технологические процессы обработки поверхности. Покрытие становится защитным слоем (от трещин при предельных нагрузках), если знак равенства в условиях равнопрочности (5)—(7) можно заменить на знак $<$.

Рассмотрим циклическое нагружение, когда нагрузка p — периодическая функция времени. Пусть усталостная трещина развивается из точки O — конца трещины на границе сред — под некоторым углом θ (см. рис. 1). В этом случае скорость роста усталостной трещины dl/dN будет некоторой функцией максимального и минимального значений K_θ за цикл $dl/dN = f(K_{\theta \max}, K_{\theta \min}, \theta)$, причем она в общем случае зависит также от угла θ . Естественно предположить, что направление развития магистральной усталостной трещины дается углом $\theta = \theta_*$, на котором функция f достигает максимума

$$(8) \quad \max_{\theta} f(K_{\theta \max}(\theta), K_{\theta \min}(\theta), \theta) \text{ при } \theta = \theta_*.$$

По остальным направлениям усталостные трещины попадают в область разгрузки и перестают расти.

В случае двух различных однородных сред в точке O конкурирующими являются лишь указанные выше три варианта $a - e$, а условие выбора направления (8) принимает вид $dl/dN = \max \{f_g, f_{lg}, f_l\}$ (f_g, f_{lg} и f_l — скорость роста усталостной трещины по направлениям $\theta = 0$, $\theta = \pi/2$ и $\theta = \pi/2 + 0$ соответственно). Эти величины определяются экспериментально. Если различием упругих постоянных двух сред можно пренебречь, то значения f_g и f_l можно взять из диаграмм $dl/dN - \Delta K$ для соответствующего однородного материала при ΔK , определяемой по формулам (1), а f_{lg} найти из аналогичной диаграммы, снятой для усталостной трещины, развивающейся вдоль границы раздела покрытие — подложка.

На основании изложенного становится очевидным, что направление развития криволинейных усталостных трещин, растущих при низких переменных нагрузках, и равновесных трещин, растущих при предельных нагрузках, вообще говоря, различно. Это одно из проявлений общего заключения о том, что поведение материалов и конструкций неоднозначно при высоких и низких нагрузках: конструкция может нести большие

предельные нагрузки, но иметь сравнительно малую долговечность при низких нагрузках, и наоборот.

В связи с указанным обстоятельством естественно называть покрытие равнопрочным по усталостному ресурсу, если оба направления $\theta = 0$ и $\theta = \pi/2$ равноправны, т. е.

$$(9) \quad f_g = \max(f_l, f_{lg}).$$

Если же

$$(10) \quad f_g < \max(f_l, f_{lg}),$$

то покрытие можно называть защитным от усталостных трещин.

Отсюда вытекает, что при заданном материале более стойкого покрытия и подложки (т. е. при заданных f_l и f_g , удовлетворяющих неравенству $f_g > f_l$) конструктор должен выбрать технологию формирования сцепления покрытия с подложкой таким образом, чтобы выполнялось условие $f_{lg} > f_g$ при $f_g > f_l$, гарантирующее защитные свойства покрытия от усталостных трещин. В то же время должна быть гарантирована прочность сцепления при предельных нагрузках [3]. Подчеркнем, что в условия (9) и (10) входят рабочая нагрузка и толщина слоя; следовательно, покрытие и его сцепление с подложкой должны проектироваться на определенный уровень циклических или переменных нагрузок (и на заданный ресурс). Даже в случае простейшей степенной закономерности $\Delta l/dN \sim (\Delta K)^m$ зависимость от p и h пропадает лишь тогда, когда постоянная m одинакова для подложки и контакта покрытия с подложкой.

Когда свойства поверхностного слоя плавно изменяются по глубине и поверхность раздела отсутствует, защитные свойства покрытия от усталостных трещин отсутствуют, так как трещина всегда переходит в основной металл без остановки. В этом случае нужно стремиться к созданию ортотропии в поверхностном слое относительно развития продольных и поперечных усталостных трещин, а необходимое условие торможения поперечных усталостных трещин, по-прежнему, выражается неравенством (10), где lg — продольное направление в слое.

Развитие усталостной трещины вдоль границы раздела покрытия и подложки. Пусть на границе раздела покрытия и подложки имеется плоская область, в которой сцепление покрытия и подложки отсутствует (начальная трещина, изображенная в плане на рис. 6, а). Эта трещина может быть технологического происхождения или же возникает вследствие торможения поперечной усталостной трещины в слое на границе раздела по описанному выше механизму. Примем, что характерный линейный размер трещины в плане гораздо больше толщины покрытия.

Будем считать, что напряженно-деформированное состояние детали в рассматриваемом месте (без учета трещины и покрытия) приводится к главным деформациям ϵ_1 и ϵ_2 и напряжениям:

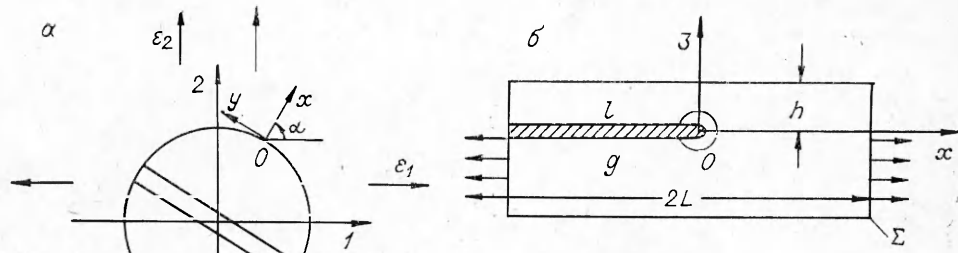
$$\sigma_1 = \frac{E_\delta}{1 - \nu_\delta^2} (\epsilon_1 + \nu_\delta \epsilon_2), \quad \sigma_2 = \frac{E_\delta}{1 - \nu_\delta^2} (\epsilon_2 + \nu_\delta \epsilon_1)$$

$$(\delta = l, g; E_\delta \epsilon_3 = -\nu_\delta (\sigma_1 + \sigma_2)).$$

Направление z совпадает с нормалью к свободной поверхности тела.

Полагаем, что в ϵ_1 и ϵ_2 , кроме деформаций, возникающих от рабочих нагрузок, входят также крупномасштабные (по сравнению с h) остаточные и температурные деформации. Легко видеть, что если покрытие над трещиной сплошное, то концентрация напряжений на ее фронте не возникает, и поэтому сила, движущая трещину и выражаемая инвариантным Γ -интегралом, равна нулю. При этом контур трещины неподвижен. Если же покрытие имеет сквозные поперечные трещины или царапины, то Γ -вычет на фронте трещины отличен от нуля и трещина приходит в движение [4, 6].

Ограничимся наиболее определенным и важным случаем, когда система сквозных трещин такова, что она сводит к нулю все напряжения в



Р и с. 6

области покрытия, расположенной над трещиной (за исключением узкой полоски порядка толщины покрытия вдоль границы трещины, где имеют место трехмерные распределения напряжений, проникающих из внешнего поля).

Рассмотрим окрестность произвольной точки O фронта трещины, малую по сравнению с радиусом кривизны контура трещины в этой точке, но большую по сравнению с толщиной покрытия (рис. 6, б). Нормаль и касательную к контуру трещины в данной точке обозначим через x и y соответственно.

В плоской задаче рис. 6, б напряжения в полосе $0 < y < h$ стремятся к нулю при $x \rightarrow -\infty$, а во всей остальной области при $x \rightarrow \pm\infty$ напряжения и деформации стремятся к невозмущенным значениям

$$(11) \quad \begin{aligned} \varepsilon_x &= \varepsilon_1 \cos^2 \alpha + \varepsilon_2 \sin^2 \alpha, \quad \varepsilon_y = \varepsilon_1 \sin^2 \alpha + \varepsilon_2 \cos^2 \alpha, \\ \varepsilon_{xy} &= (1/2)(\varepsilon_2 - \varepsilon_1) \sin 2\alpha \end{aligned}$$

(напряжения определяются по закону Гука). Здесь α — угол, составляемый нормалью к контуру трещины с направлением ε_1 .

Вычислим Γ -вычет по малой окружности, охватывающей точку O . Для этого возьмем замкнутый контур Σ , состоящий из свободных берегов трещины, свободной поверхности тела, линий $x = \pm L_1$ при $L_1 \rightarrow \infty$ и линии, параллельной оси x и отстоящей от нее на расстоянии L_2 при $L_2 \rightarrow \infty$ (прямоугольник с разрезом, см. рис. 6, б). Практически достаточно L_1 и L_2 взять равными порядка $3h$. Используя теорию Γ -интегрирования [3, 4], получаем

$$(12) \quad \begin{aligned} \Gamma &= \oint_{\Sigma} \left[\left(\partial + \frac{1}{2} \rho \dot{u}_i \dot{u}_i \right) n_x - \sigma_{ij} u_{i,x} n_j \right] d\Sigma = -h (\partial \varepsilon_0 - \sigma_x \varepsilon_x - 2\tau_{xy} \varepsilon_{xy}) = \\ &= -\frac{1}{2} h (\sigma_y \varepsilon_y - \sigma_x \varepsilon_x - 2\tau_{xy} \varepsilon_{xy}), \end{aligned}$$

где ∂ — энергия деформации единицы объема; ρ — плотность; \dot{u}_i — скорость; u_i — смещения; σ_{ij} — напряжения; напряжения с индексами x и y и $\partial \varepsilon_0$ относятся к невозмущенному состоянию покрытия (11); Γ — сила, движущая трещину [4, 6]. Поэтому в общем случае (когда пластическая область не мала) скорость роста усталостной трещины dl/dN выражается формулой [3, 4]

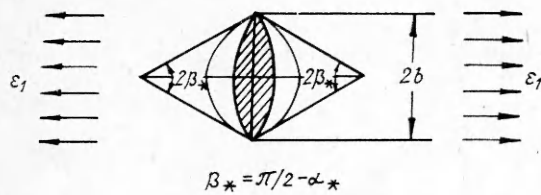
$$(13) \quad dl/dN = f(\Gamma_{\max}, \Gamma_{\min})$$

(f — некоторая функция, Γ_{\max} и Γ_{\min} — максимальное и минимально значения Γ за цикл).

Используя постулат подобия и общую энергетическую концепцию для малых пластических областей, когда можно применять понятие коэффициента интенсивности напряжений, находим [4]

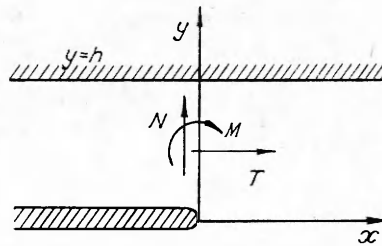
$$\frac{dl}{dN} = -\beta \left(\frac{\Gamma_{\max} - \Gamma_{\min}}{\Gamma_c} + \ln \frac{\Gamma_c - \Gamma_{\max}}{\Gamma_c - \Gamma_{\min}} \right) \quad (\Gamma_c \geq \Gamma_{\max} > \Gamma_Y) \quad (\beta, \Gamma_c, \Gamma_Y - \text{адгезионные постоянные контакта покрытие — подложка}).$$

Согласно (11) —



$$\beta_* = \pi/2 - \alpha_*$$

Р и с. 7



Р и с. 8

(13), скорость роста усталостной трещины не зависит от ее размеров и числа циклов, а существенно зависит от угла α (и, естественно, от внешней периодической нагрузки).

Пусть уравнение контура движущейся трещины имеет вид $f(x, y, t) = 0$ (t — время, измеряемое в циклах). Выведем дифференциальное уравнение для функции f :

$$(14) \quad v_x \partial_x f + v_y \partial_y f + \partial_t f = 0.$$

Здесь v_x, v_y — компоненты скорости движения контура трещины в рассматриваемой точке, определяемые формулами $v_x = v(\alpha) \cos \alpha$, $v_y = v(\alpha) \sin \alpha$, $v(\alpha) = dl/dN$, $\operatorname{tg} \alpha = \partial_y f / \partial_x f$ (v — нормальная скорость движения контура усталостной трещины).

Таким образом, движение контура усталостной трещины находится из решения нелинейного дифференциального уравнения в частных производных первого порядка. Решение этого уравнения легко получить численно, применяя пошаговый метод по времени.

В простейшем случае одноосного растяжения, когда $\varepsilon_2 = 0$, вычисляем

$$(15) \quad \Gamma = \frac{hE_1 \varepsilon_1^2 \cos^2 \alpha}{2(1 - \nu_l^2)} [1 - \operatorname{tg}^2 \alpha + 2(1 - \nu_l) \sin^2 \alpha].$$

Пусть, например, начальная трещина представляет собой узкий эллипс длины $2b$, вытянутый поперек растяжения ε_1 (заштрихованная область на рис. 7). При циклическом растяжении усталостная трещина придет в движение; при этом, согласно (15), центральная область контура будет продвигаться вперед с большей скоростью, чем края, а вершины трещины останутся неподвижными. Если считать, что $\Gamma_Y = 0$, то движение трещины продолжится до тех пор, пока на всем контуре трещины движущая сила Γ больше нуля. При $\Gamma = 0$ движение прекратится; таким образом, условие $\Gamma = 0$ позволяет непосредственно определить предельный контур трещины, не решая дифференциальное уравнение. Отсюда при помощи (15) находим

$$(16) \quad \operatorname{tg}^2 \alpha_* = 1 + 2(1 - \nu_l) \sin^2 \alpha_*.$$

Следовательно, предельный контур трещины представляет собой ромб с диагональю $2b$ и углом раствора $2\alpha_*$, являющимся корнем уравнения (16). Например, при $\nu_l = 0,5$ $\alpha_* = 52^\circ$, при $\nu_l = 0,3$ $\alpha_* = 55^\circ$, при $\nu_l = 0$ $\alpha_* = 58^\circ$. Интересно, что предельный контур формируется за конечное число циклов \dot{N}_* , которое легко найти, разделив на скорость трещины путь длины $b \sin \alpha_*$, который проходит центральная точка контура вдоль диаметра ромба (при $\alpha = 0$). Например, в простейшем случае, когда $\varepsilon_{1 \min} = 0$, $dl/dN = A\Gamma_{\max}$, при помощи (15) находим $N_* = 4b(1 - \nu_l^2) \sin^2 \alpha_* / (Ah^2 E_1^2 \varepsilon_{1 \max}^4)$.

При $\Gamma_Y > 0$ предельный контур будет внутри указанного ромба. В случае произвольного контура начальной трещины теперь уже легко построить предельный контур, проведя касательные к начальному контуру под углом $\pi/2 - \alpha_*$ с направлением растяжения.

Структура трещины расслаивания. Вопрос о распределении напряжений и деформаций вблизи фронта трещины расслаивания с учетом поверхности тела достаточно сложный в вычислительном отношении, так как требует анализа точных уравнений деформирования материала на расстояниях порядка толщины покрытия. На основании «принципа микроскопа» исследуемая область в этом случае представляет собой полуплоскость с полубесконечным разрезом, параллельным границе, в условиях плоской деформации [3] (рис. 8, где показаны также равнодействующие силы и момент, приведенные к началу координат, концу трещины).

Рассмотрим эту проблему в простейшей линейно-упругой постановке, считая упругие постоянные покрытия и подложки одинаковыми. Точное решение этой задачи получено в [7] изящным, но весьма трудоемким аналитическим методом с использованием матричной задачи Римана. Итак, однородная изотропная полуплоскость $y < h$ имеет полубесконечный разрез при $y = 0$, $x < 0$, параллельный границе полуплоскости. Берега разреза и граница $y = h$ считаются свободными от нагрузок.

Равнодействующая напряжений σ_y и τ_{xy} в сечении $y = 0$ равна силам N и T , а их момент относительно начала координат — M .

Приведем окончательные результаты решения для коэффициентов интенсивности [7]

$$(17) \quad K_I = 1,932M/h^{3/2} - 0,5314T/\sqrt{h} + 1,933N/\sqrt{h}, \\ K_{II} = -1,506M/h^{3/2} + 1,3108T/\sqrt{h} + 0,033N/\sqrt{h}.$$

Проверим их при помощи инвариантного Г-интеграла.

Усилия N , T и момент M в данной задаче создаются следующим напряженным состоянием в полосе $0 < y < h$ при $x \rightarrow -\infty$:

$$(18) \quad \sigma_x = 2(3M - 2hT)h^{-2} + 6y(hT - 2M)h^{-3} + \\ + 6xNh^{-3}(2y - h), \quad \sigma_y = 0, \quad \tau_{xy} = -6Nyh^{-3}(y - h).$$

Вычислим Г-вычет в конце трещины для данной задачи, используя контур рис. 6, б при помощи простого расчета [3, 4], аналогичного (12). Приведем промежуточные выкладки для перемещений при $0 < y < h$ $x \rightarrow -\infty$

$$(19) \quad u = \frac{1-\nu^2}{E_1} 2xh^{-2} [3M - 2hT + 3yh^{-1}(hT - 2M)] + \\ + \frac{1+\nu}{E} Nh^{-3} \left[3(1-\nu)x^2(2y-h) + 2y^2(\nu-2) \left(y - \frac{3}{2}h \right) \right] + C_1, \\ v = \frac{1+\nu}{E} \{ 2\nu yh^{-2}(3M - 2hT) - 3h^{-3}(hT - 2M)[\nu y^2 + (1-\nu)x^2] \} + \\ + \frac{1+\nu}{E} Nh^{-3} [2x^3(1-\nu) - 6\nu xy(y-h)] + C_2$$

$$(E\varepsilon_x = (1-\nu^2)\sigma_x, E\varepsilon_y = -\nu(1+\nu)\sigma_x, E\varepsilon_{xy} = (1+\nu)\tau_{xy}, \varepsilon_z = 0)$$

(C_1, C_2 — несущественные постоянные).

Формулы (18) и (19) — точное решение уравнений теории упругости для полосы $0 < y < h$ со свободной границей $\sigma_y = \tau_{xy} = 0$ при $y = 0$, $y = h$ и с заданным значением M , T и N в сечении $x = 0$ полосы.

Таким образом,

$$(20) \quad \Gamma = \int_0^h \left(\frac{1}{2} \sigma_x \varepsilon_x + \tau_{xy} \varepsilon_{xy} - \tau_{xy} \frac{\partial u}{\partial y} \right) dy = \\ = \frac{1-\nu^2}{E} \left(6M^2 h^{-3} - 6MT h^{-2} + 2T^2 h^{-1} + \frac{6}{5} N^2 h^{-1} \right).$$

Формула (20) годится также для плоского напряженного состояния, если в ней положить $\nu = 0$.

Попробуем рассчитать коэффициенты интенсивности напряжений по известному значению Γ -вычета. Ограничимся случаем трех независимых параметров нагружения p_1, p_2, p_3 (как в данной задаче). Согласно принципу суперпозиции, имеем $K_I = \alpha_i p_i, K_{II} = \beta_i p_i$ ($i = 1, 2, 3$) (α_i и β_i — искомые коэффициенты, не зависящие от p_i). Далее, находим

$$(21) \quad \Gamma = \frac{1-\nu^2}{E} (K_I^2 + K_{II}^2) = \frac{1-\nu^2}{E} (\alpha_i \alpha_k + \beta_i \beta_k) p_i p_k = \frac{1-\nu^2}{E} A_{ik} p_i p_k$$

$$(i, k = 1, 2, 3)$$

(A_{ik} — известные коэффициенты). Следовательно, получаем 6 уравнений для определения 6 неизвестных:

$$(22) \quad \alpha_i \alpha_k + \beta_i \beta_k = A_{ik} \quad (i, k = 1, 2, 3).$$

Решение этой системы уравнений запишем в виде

$$\alpha_i = \sqrt{a_k} \sin \gamma_k, \quad \beta_i = \sqrt{a_k} \cos \gamma_k,$$

$$\gamma_1 = \gamma_3 + \arccos \frac{A_{13}}{\sqrt{A_{11} A_{33}}}, \quad \gamma_2 = \gamma_3 + \arccos \frac{A_{23}}{\sqrt{A_{22} A_{33}}}$$

$$(a_1 = A_{11}, a_2 = A_{22}, a_3 = A_{33}),$$

так как должно иметь место условие разрешимости системы (22):

$$(23) \quad \arccos \frac{A_{13}}{\sqrt{A_{11} A_{33}}} - \arccos \frac{A_{23}}{\sqrt{A_{22} A_{33}}} = \arccos \frac{A_{12}}{\sqrt{A_{11} A_{22}}}.$$

Таким образом, все коэффициенты интенсивности можно определить из Γ с точностью до одной неизвестной постоянной и показать, что этот результат справедлив для любого числа параметров нагрузки. Итак, в задачах с известным значением Γ для отыскания коэффициентов K_I и K_{II} достаточно определить лишь одно значение K_I или K_{II} при каком-либо одном значении одного из параметров нагрузки (т. е. один из коэффициентов α_i или β_i).

Нетрудно видеть, что коэффициенты A_{ik} в формуле (21) данной задачи, согласно (17), не удовлетворяют условию (23), что не является следствием какой-либо элементарной вычислительной ошибки. Причина этого нетривиальна, для выяснения ее остановимся подробнее на данной задаче (см. рис. 8) при $M = T = 0, N \neq 0$. Назовем ее задачей N . Согласно (18), напряжение σ_x в полосе $0 < y < h$ стремится к бесконечности при $x \rightarrow -\infty$, причем в каждом сечении полосы $x = \text{const} \rightarrow -\infty$ $M = \int_0^h y \sigma_x dy = -Nx$, а равнодействующая сила $N \neq 0, T = 0$. Таким образом, на основании теоремы о корректных краевых задачах [4] задача N некорректна, так как не выполняется одно из необходимых условий корректности краевой задачи с цилиндрической бесконечно удаленной точкой: ограниченность напряжений на бесконечности.

Можно построить сколь угодно много различных решений задачи N в классе напряжений, не ограниченных при $x \rightarrow -\infty, 0 < y < h$ и дающих $M = 0, T = 0, N = \text{const} \neq 0$ в сечении $x = -0$. Формулы (18), (19) при $M = 0, T = 0$ дают одно из этого множества решений. В окрестности цилиндрической бесконечно удаленной точки задачи N Γ -интеграл расходится, поэтому в зависимости от пути интегрирования и выбранной асимптотики его значение может быть любым (в частности, конечным и равным (20) при $M = 0, T = 0$, как в данном случае). То же самое справедливо в отношении коэффициентов интенсивности K_I и K_{II} задачи N : решение [7] некорректно при $M = 0, T = 0, N \neq 0$.

Заметим, что если к расходящемуся интегралу (20) в задаче N применить правило Γ -интегрирования [3, 4], то, очевидно, получим $\Gamma = 0$. Так как $\Gamma \sim N^2$, то отсюда $N = 0$: таково условие корректности задачи N .

ЛИТЕРАТУРА

1. **Treatise on materials science and technology**/Ed. by H. Herman.— N. Y.: Acad. Press, 1976—1982.— V. 1—20.
2. **Обработка поверхности и надежность материалов**.— М.: Мир, 1985.
3. **Черепанов Г. П.** Механика разрушения композиционных материалов.— М.: Наука, 1983.
4. **Cherepanov G. P.** Mechanics of brittle fracture.— N. Y.: McGraw Hill, 1979.
5. **Zak A. R., Williams M. L.** Crack point stress singularities at bimaterial interface // Trans. ASME. Ser. E. J. Appl. Mech.— 1963.— V. 30, N 1.
6. **Писаренко Г. С., Науменко В. П., Волков Г. С.** Определение трещиностойкости материалов на основе энергетического контурного интеграла.— Киев: Наук. думка, 1978.
7. **Златин А. Н., Храпков А. А.** Полубесконечная трещина, параллельная границе упругой полуплоскости // ДАН СССР.— 1986.— Т. 291, № 4.

Поступила 10/IV 1987 г.

УДК 538.4 : 621.926.085.54—185

ПРИМЕНЕНИЕ МЕТОДОВ МЕХАНИКИ ГЕТЕРОГЕННЫХ СРЕД ДЛЯ ОПИСАНИЯ ПРОЦЕССОВ ИЗМЕЛЬЧЕНИЯ В ЭЛЕКТРОМАГНИТНОМ ПОЛЕ

*С. Ю. Арутюнов, И. Н. Дорохов, В. В. Кафаров,
В. Г. Корнийчук, В. П. Соловьев*

(Москва)

В [1, 2] найдены уравнения термогидромеханики двухфазной полидисперсной среды, учитывающие измельчение частиц дисперсной фазы. В данной работе с помощью методов механики гетерогенных сред [3] и основных уравнений электродинамики [4] получено математическое описание процесса измельчения в электромагнитном поле (ЭМП), которое учитывает эффекты столкновения, разрушения и образования частиц дисперсной фазы и влияние ЭМП на эти эффекты.

1. Движение гетерогенной смеси трех фаз в ЭМП, из которых первая фаза несущая (жидкость или газ), а вторая и третья присутствуют в виде отдельных частиц измельчаемого материала и мелющих тел различного размера, рассматривается при допущениях, принятых в [1—3].

Введем в каждой точке объема, занятого смесью, объемные содержания фаз α_i и средние плотности ρ_i ($i = 1, 2, 3$):

$$\alpha_1 + \int_0^R r f_2(r) dr + \int_{R_1}^{R_2} \mu f_3(\mu) d\mu = 1, \quad \rho = \rho_1 + \int_0^R \rho_2^0 r f_2(r) dr + \int_{R_1}^{R_2} \rho_3^0 \mu f_3(\mu) d\mu.$$

Здесь полидисперсность второй фазы характеризуется функцией $f_2(r)dr$ (число измельчаемых частиц в единице объема, размеры (объемы) которых находятся в интервале $(r, r + dr)$), а полидисперсность третьей фазы характеризуется функцией $f_3(\mu)d\mu$ (число мелющих тел в единице объема, размеры (объемы) которых находятся в интервале $(\mu, \mu + d\mu)$); индексы 1, 2 и 3 относятся к несущей фазе, к дисперсной и к фазе мелющих тел; $R_1 > R$. Следуя [1, 2], введем понятия r -фазы как совокупности частиц, размеры которых находятся в интервале $(r, r + dr)$, и μ -фазы как совокупности мелющих тел, размеры которых находятся в интервале $(\mu, \mu + d\mu)$. Каждая фаза представляет собой заряженную, электропроводную, поляризующуюся и намагничивающуюся среду в ЭМП.

2. При построении моделей сплошных сред, взаимодействующих с ЭМП, можно использовать различные формулировки уравнений электродинамики в зависимости от постулирования выражений для локальных напряженностей поля $E_1, E_2(r), E_3(\mu)$ и $H_1, H_2(r), H_3(\mu)$, однако после выбора одной из них все законы сохранения механики необходимо рассматривать с учетом выбранной формулировки. В настоящее время наи-